

## Equações de Maxwell na Materia.

As equações de Maxwell conforme apresentamos anteriormente estão **corretas e completas**. No entanto, assim como no caso da magnetostática e eletrostática, em se tratando de campos no interior de materiais existe uma forma mais **conveniente** de representar tais equações.

Vinham em eletrostática que dipólos elétricos surgem devido a um polo negativo do material. Algo similar acontece para o caso de dipólos magnéticos em se tratando da magnetostática.

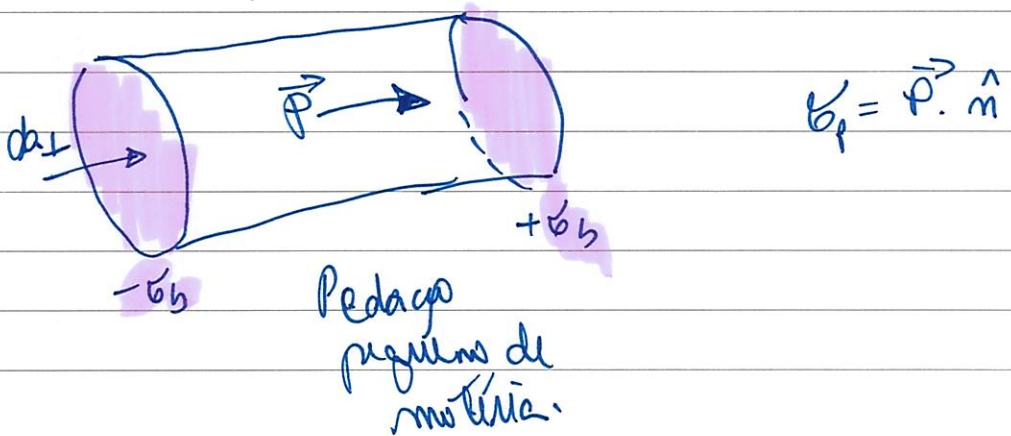
Estes são descritos por:

$$\xrightarrow{\text{Ligados}} \text{polo} \xrightarrow{\text{(ligados)}} \text{carga} \quad (\text{eletrostática}) : \quad \vec{P}_p = -\nabla \cdot \vec{P}$$

$$\xrightarrow{\text{Ligados}} \text{corrente de magnetização na matéria} \quad (\text{magnetostática}) : \quad \vec{J}_M = \vec{\nabla} \times \vec{M}$$

De fato também existem poloizações de superfície e correntes de superfície.

No caso no estatôico, devem-se verificar se a polozação não cria um fluxo de algum tipo de carga



O que acontece se  $\vec{P}$  variar ligeiramente no tempo?

$$\frac{\Delta \vec{P}}{\Delta t} \rightarrow \text{variação em } \vec{v}_P$$

$$\left. \begin{array}{l} \frac{\Delta (-\vec{v}_P)}{\Delta t} \rightarrow -\frac{\Delta \vec{P}}{\Delta t} \cdot \vec{da}_- \\ \frac{\Delta (+\vec{v}_P)}{\Delta t} \rightarrow \frac{\Delta \vec{P}}{\Delta t} \cdot \vec{da}_+ \end{array} \right\} \begin{array}{l} \text{no limite} \\ \Delta t \rightarrow 0 \end{array} \quad \begin{array}{l} \frac{\partial \vec{P}}{\partial t} \cdot \vec{da}_- \\ \frac{\partial \vec{P}}{\partial t} \cdot \vec{da}_+ \end{array}$$

Portanto  $\vec{J}_P = \frac{\partial \vec{P}}{\partial t}$  ou  $dI = \frac{\partial \vec{P}}{\partial t} \cdot da^3$

Poderemos verificar que este corrente de polarização

Satisfaz a equação da continuidade. (conservação de carga!)

$$\boxed{N \cdot \vec{J}_P} = \nabla \cdot \frac{\partial \vec{P}}{\partial t} = \frac{\partial}{\partial t} (\nabla \cdot \vec{P}) = -\frac{\partial \rho_p}{\partial t}$$

OK! Satisfaz

Poderemos agora separar a contribuição em dois tipos de cargas.

$$\rho = \rho_f + \rho_p = \rho_f - \nabla \cdot \vec{P}$$

O mesmo sól/ os <sup>dimensões de</sup> correntes:

$$\vec{J} = \vec{J}_f + \vec{J}_M + \vec{J}_P = \vec{J}_f + \vec{V} \times \vec{M} + \frac{\partial \vec{P}}{\partial t}$$

Poderemos agora resolver algumas das equações de Maxwell  
apropriadamente:

Lei de Gauss:

$$\nabla \cdot \vec{E} = \frac{1}{\epsilon_0} (f_f - \nabla \cdot \vec{P})$$

$$\text{ou } \nabla \cdot \vec{D} = f_f$$

onde

$$\vec{D} = \epsilon_0 \vec{E} + \vec{P}$$

Lei de Ampère-Maxwell:

$$\nabla \times \vec{B} = \mu_0 (J_f + \nabla \times M + \frac{\partial \vec{P}}{\partial t}) + \mu_0 \epsilon_0 \frac{\partial \vec{E}}{\partial t}$$

$$\nabla \times \left( \frac{\vec{B}}{\mu_0} - \vec{M} \right) = \vec{J}_f + \frac{\partial}{\partial t} \left( \epsilon_0 \vec{E} + \vec{P} \right)$$

$\vec{H}$

$$\therefore \nabla \times \vec{H} = \vec{J}_f + \frac{\partial \vec{D}}{\partial t}$$

Desta forma, as Equações de Maxwell em sua forma mais simples pode ser representada em termos das

Cargas livres

e Correntes livres

$$(I) \quad \nabla \cdot \vec{D} = f_f$$

$$(II) \quad \nabla \cdot \vec{B} = 0$$

$$(III) \quad \nabla \times \vec{E} = - \frac{\partial \vec{B}}{\partial t}$$

$$(IV) \quad \nabla \times \vec{H} = \vec{J}_f + \frac{\partial \vec{D}}{\partial t}$$

$$\vec{J}_d = \frac{\partial \vec{D}}{\partial t}$$

É claro que para conhecer  $\vec{E}$  e  $\vec{B}$  no meio, precisamos conhecer o material. Se estes forem lineares, então:

$$\vec{D} = \epsilon_0 \chi_e \vec{E} \quad \therefore \quad \vec{D} = \epsilon \vec{E} \quad \text{onde } \epsilon = \epsilon_0 (1 + \chi_e)$$

$$\vec{M} = \chi_m \vec{H} \quad \begin{matrix} \xrightarrow{\text{susceptibilidade}} \\ \text{do material.} \end{matrix} \quad \begin{matrix} \xrightarrow{\text{permisividade}} \\ \text{do meio (material)} \end{matrix}$$

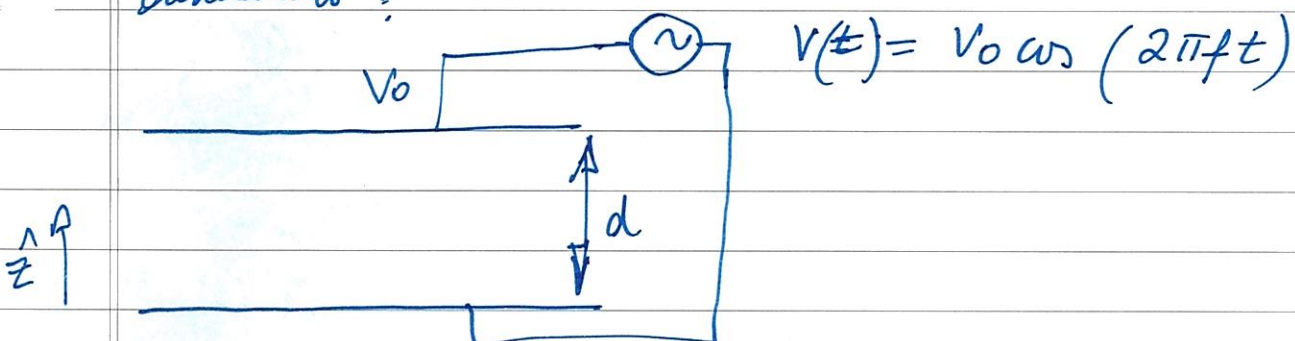
$\hookrightarrow$  susceptibilidade magnética

$$\vec{H} = \frac{1}{\mu} \vec{B} \quad \text{e} \quad \mu = \mu_0 (1 + \chi_m) \quad \begin{matrix} \xrightarrow{\text{permabilidade magnética do meio}} \\ (\text{material}) \end{matrix}$$

Exemplo : Problema 7.37 (figura do NR)

Na frequência de  $f = 4 \times 10^8 \text{ Hz}$ ,  $E = 81 \epsilon_0$  e  $\mu = \mu_0$ .  
 $\rho = 0.23 \Omega \cdot \text{m}$ .

Qual é a razão entre corrente de corrente e corrente de deslocamento?



$$V(t) = V_0 \cos(2\pi f t)$$

$$\vec{D} = \epsilon \vec{z} \quad \text{e} \quad \vec{E} = \frac{\epsilon}{\epsilon_0} \vec{z} \quad \Rightarrow \quad V(z) = \frac{\epsilon}{\epsilon_0} \vec{z}$$

$$V(d) = \frac{\epsilon d}{\epsilon_0} = (\vec{E}_d \cdot \vec{d}) \quad \therefore \quad |\vec{D}| = \frac{\epsilon V}{d} = \frac{\epsilon V_0 \cos(2\pi f t)}{d}$$

$$\vec{J}_{\text{dil}} = \frac{\partial \vec{D}}{\partial t} = \frac{\epsilon V_0}{d} \frac{\partial}{\partial t} (\cos(2\pi f t))$$

$$\vec{J}_{\text{dil}} = \frac{\epsilon V_0}{d} [-2\pi f \sin(2\pi f t)] \hat{z}$$

$$\vec{J}_{\text{condens}} = b_{\text{cond}} \vec{E} = \frac{1}{\rho} \vec{E} \Rightarrow |\vec{J}_{\text{cond}}| = \frac{V}{\rho d}$$

$$\vec{J}_{\text{condens}} = \frac{d\phi}{dp} \cos(2\pi f t) \hat{z}$$

Abaixo entramos com amplitudes máximas no abs.

$$\frac{\text{Amp}[\vec{J}_{\text{dil}}]}{\text{Amp}[\vec{J}_{\text{cond}}]} = \frac{V_0/d\rho}{\epsilon V_0 2\pi f / d} = \frac{1}{2\pi f \epsilon \rho}$$

$$\frac{J_{\text{dil}}}{J_{\text{cond}}} = \frac{1}{2\pi \times 4 \times 10^8 \times 8.8 \times 10^{-12} \cdot 81.023} = \underline{\underline{2.4}}$$

### Condução de Contorno em Fronteira

Já tratamos disto p/ os diferentes campos  $\vec{E}, \vec{D}, \vec{B}$  e  $\vec{H}$  nas descontinuidades.

Usaremos o mesmo integral e no caso de superfícies, um círculo infinitesimal envolvendo a fronteira.

No caso de integral de linha temos espira angular infinitesimal perpendicular à interface.

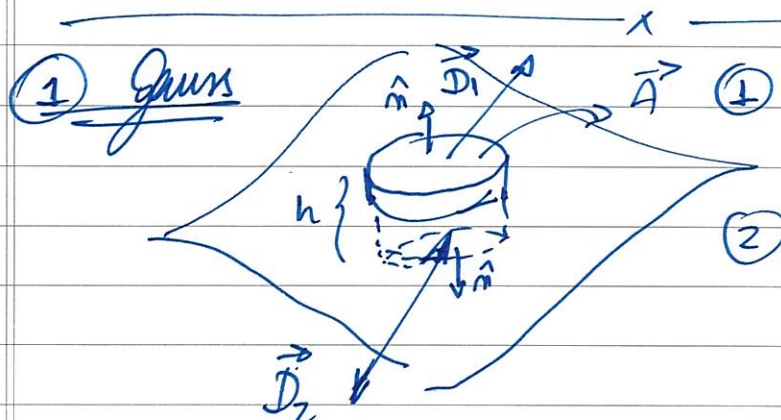
### Forme intégral des Eq. de Maxwell

$$(1) \oint_S \vec{D} \cdot d\vec{a} = Q_{f(env)}$$

$$(1') \oint_P \vec{E} \cdot d\vec{l} = - \frac{d}{dt} \int_S \vec{B} \cdot d\vec{a}$$

$$(1'') \oint_S \vec{B} \cdot d\vec{a} = 0$$

$$(1'') \oint_P \vec{H} \cdot d\vec{l} = I_{f(env)} + \frac{d}{dt} \int_S \vec{D} \cdot d\vec{a}$$



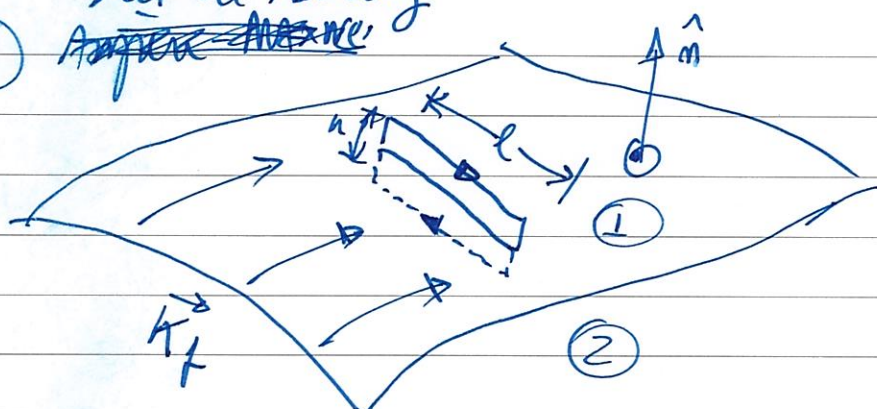
$$A(D_1^\perp - D_2^\perp) = G_f \Rightarrow [D_1^\perp - D_2^\perp = G_f] \text{ au } \vec{D} \cdot \hat{n} = \epsilon$$

O/  $h \rightarrow 0$  não temos contribuições das laterais!

$$(2) \text{ O mesmo p/ } \nabla \cdot \vec{B} = 0$$

$$[B_1^\perp - B_2^\perp = 0] \text{ ou } \vec{B} \cdot \hat{n} = 0$$

~~(3) Amperé Maxwell~~



$$\oint_P \vec{E} \cdot d\vec{l} = - \frac{d}{dt} \Phi$$

$$E_1'' \cdot l - E_2'' \cdot l = - \frac{d}{dt} \Phi = - \frac{d}{dt} (\vec{B} \cdot \vec{A}_{max}) \xrightarrow{\text{no limite}} = 0$$

$$\boxed{E_1'' - E_2'' = 0}$$

A componente paralela do campo deve ser contínua!  
Eletrostática!

#### (H) Amper-Maxwell.

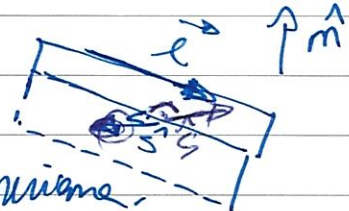
Usando o mesmo raciocínio:

$$\oint H \cdot d\vec{l} = I_{\text{frenz}} + \frac{d}{dt} \phi_D$$

$$\vec{H}_1 \cdot \vec{l} + \vec{H}_2 \cdot \vec{l} = I_{\text{frenz.}} = (\vec{J}_f \cdot \vec{h} \vec{l}) \cdot \hat{n}$$

Mas  $\vec{J}_f \in \rightarrow \vec{k}$  quando  $h \rightarrow 0$  (o volume não contribui, mas a superfície sim!)

$$\hat{n} \times \vec{l} = \cancel{\hat{n} \cdot \vec{l}}$$



$\hat{n}$  é perpendicular ao eixo argumento.

$$\therefore (\vec{H}_1'' - \vec{H}_2'') \cdot \vec{l} = \vec{J}_f \in (\hat{n} \times \vec{l})$$

$$= \vec{K}_f \cdot (\hat{n} \times \vec{l}) \quad (\text{usar regra do produto misto}).$$

$$\therefore \boxed{H_1'' - H_2'' = \vec{K}_f \times \hat{n}}$$

A descontinuidade de  $\vec{h}$  paralelo à superfície é dividida em dois componentes da superfície.

No capítulo 9 Estas equações serão a base da Teoria de reflexão e refração da luz.

Prob. 7.42 | Condutor perfeito.  $\sigma \rightarrow \infty \therefore \vec{E} = 0$   
(Estacionário). ( $\vec{J} = \sigma \vec{E}$ )

a) Mostrar que  $\vec{B} = 0$  dentro do condutor.  
 $(\frac{\partial \vec{B}}{\partial t} = 0)$

Usando a Equação de Faraday:  $\nabla \times \vec{E} = - \frac{\partial \vec{B}}{\partial t}$

Se  $\vec{E} = 0 \therefore \frac{\partial \vec{B}}{\partial t} = 0 \Rightarrow \vec{B}(\vec{n})$  independe do tempo!

b) Para uma espira dentro deste condutor,  $\oint \vec{B} \cdot d\vec{l} = cte.$

Usando ainda a Eq. de Faraday  $\oint \vec{E} \cdot d\vec{l} = - \frac{d\phi}{dt}$

Sendo  $\vec{E} = 0 \therefore \frac{d\phi}{dt} = 0 \Rightarrow \boxed{\phi = cte}$

c) Um supercondutor é um condutor perfeito. Além disso, o mesmo apresenta  $\vec{B} = 0$ ! dentro do condutor. (Efeito Meissner)

Efeito Meissner ou "Exclusão de fluxo magnético". Uma

Viseu seria um diamagnetismo perfeito, no sentido que o campo é cancelado perfeitamente!

Usando Ampère-Maxwell:

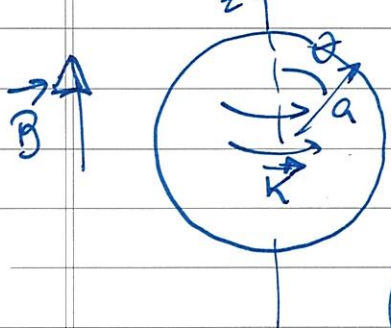
$$\nabla \times \vec{B} = \mu_0 \vec{J} + \mu_0 \epsilon_0 \frac{\partial \vec{E}}{\partial t} \therefore \text{se } \vec{E} = 0 \text{ e } \vec{B} = 0 \therefore$$

$\vec{J} = 0$ . Mas existem correntes livres sendo

onduladas. Então estas devem estar somente na superfície do condutor!

d) A supercondutividade deixa de existir a partir de uma temperatura crítica ( $T_c$ ). Ou seja  $T > T_c$  podemos ter  $\vec{B} \neq 0$  dentro do material.

$$T > T_c \rightarrow T < T_c \text{ no passo de campo } \vec{B} = B_0 \hat{z}$$



No caso de efeitos girantes.

$$\vec{B}_{\text{induzido}} = \frac{2}{3} \mu_0 \omega a \hat{z} \quad \text{se } T > T_c \\ \text{Dipolo Magnético!}$$

$T < T_c$  temos que cancelar o campo dentro.

$$\therefore \quad \vec{\omega} \times \vec{a} = -\frac{3}{2} \frac{B_0}{\mu_0} \quad \downarrow$$

$$\vec{K} = \vec{\omega} \vec{r} = \omega a \sin \theta \hat{\phi}$$

$$\text{sendo } \vec{K} = \vec{\omega} \vec{r} = \omega \vec{a} \times \vec{r} \\ \boxed{\vec{K} = -\frac{3}{2} \frac{B_0}{\mu_0} \sin \theta \hat{\phi}}$$

=====

Um efeito interessante que envolve as condições de cátodos descritas e (anódicos) no qual é um experimento de MOKE (Magnetic Optical Kerr Effect).

Efeito MOKE óptico onde existe uma mudança na velocidade da luz polarizada da luz refletida com função do campo magnético aplicado no material (ou de sua magnetização).

